

Widok na konstrukcję ustroju nośnego mostu od strony górnej wody

(rozpiętość światła poziomego pod mostem – 23,50 m ; światło pionowe mierzone do dna – 6,50 m)



2.

Widok od spodu ustroju nośnego mostu w stronę podpory prawobrzeżnej

(Światło pionowe pod mostem – mierzone do dna koryta rzeki = 6,50 m)

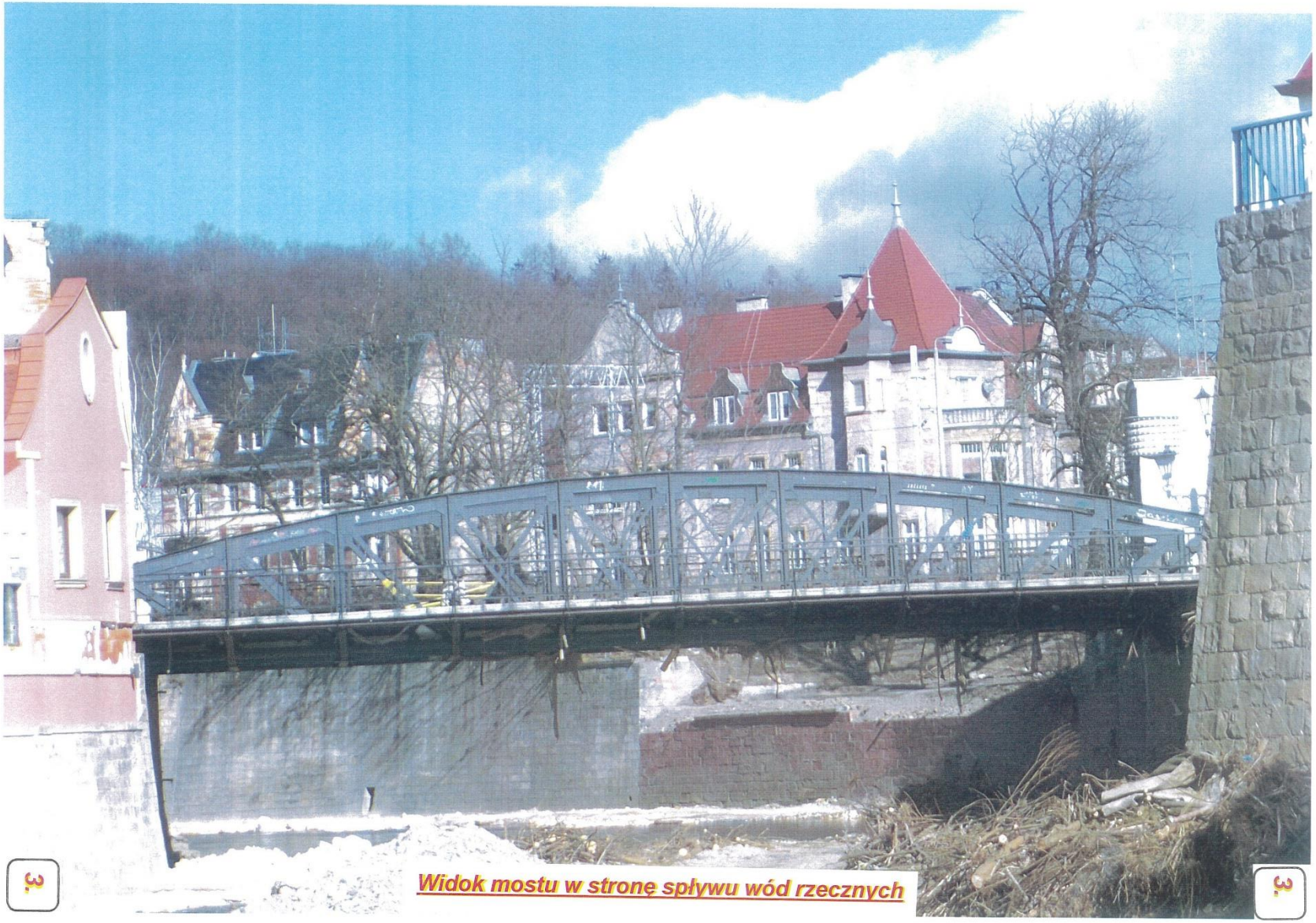

Widok mostu w stronę spływu wód rzecznych



Widok jezdni mostu w stronę dworca kolejowego

4.

Widok środkowej strefy górnego pasa dźwigara kratowego z dodatkową nakładką pasową

(długości 1,50 m)

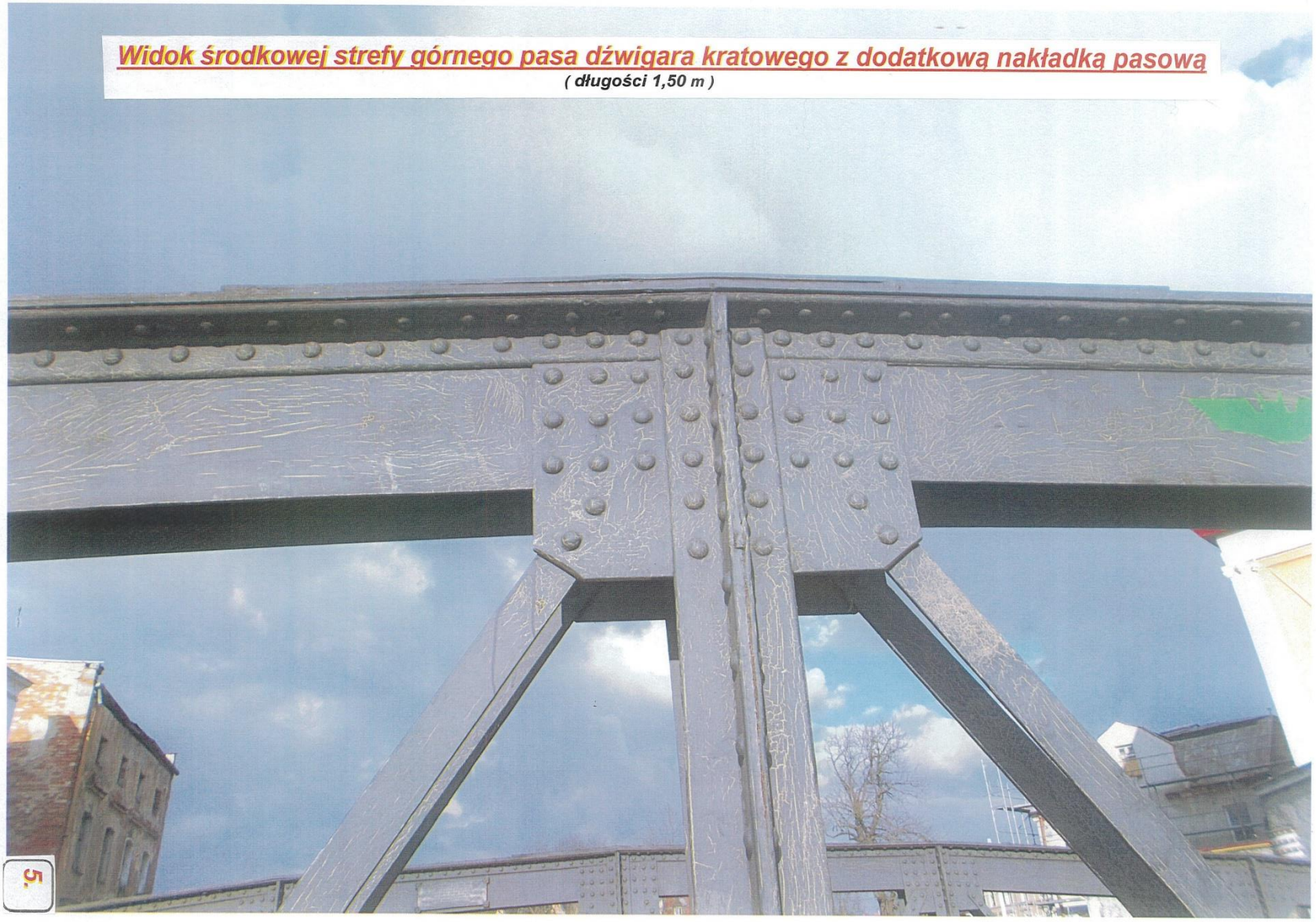



Widok blachy węzłowej pasa górnego

(środkowy słupek dźwigara głównego kratownicy)


Widok blachy węzłowej pasa górnego
(sąsiadujący ze środkowym słupek dźwigara)

Widok blachy węzłowej pasa górnego

(czwarty słupek pośredni dźwigara głównego)




Widok blachy węzłowej pasa górnego
(pierwszy słupek pośredni dźwigara głównego)
Widok blachy węzłowej pasa górnego
(trzeci słupek pośredni dźwigara głównego)



Widok blachy węzłowej pasa górnego
(słupek skrajny dźwigara głównego kratownicy)

10.

Widoczne rozwarstwienia nakładek pasa górnego nad słupkami dźwigarów głównych ustroju niosącego mostu

(spowodowane prawdopodobnie wyporem wód powodziowych – wymagające specjalnych zabiegów ślusarskich w celu przywrócenia geometrii stanu pierwotnego)

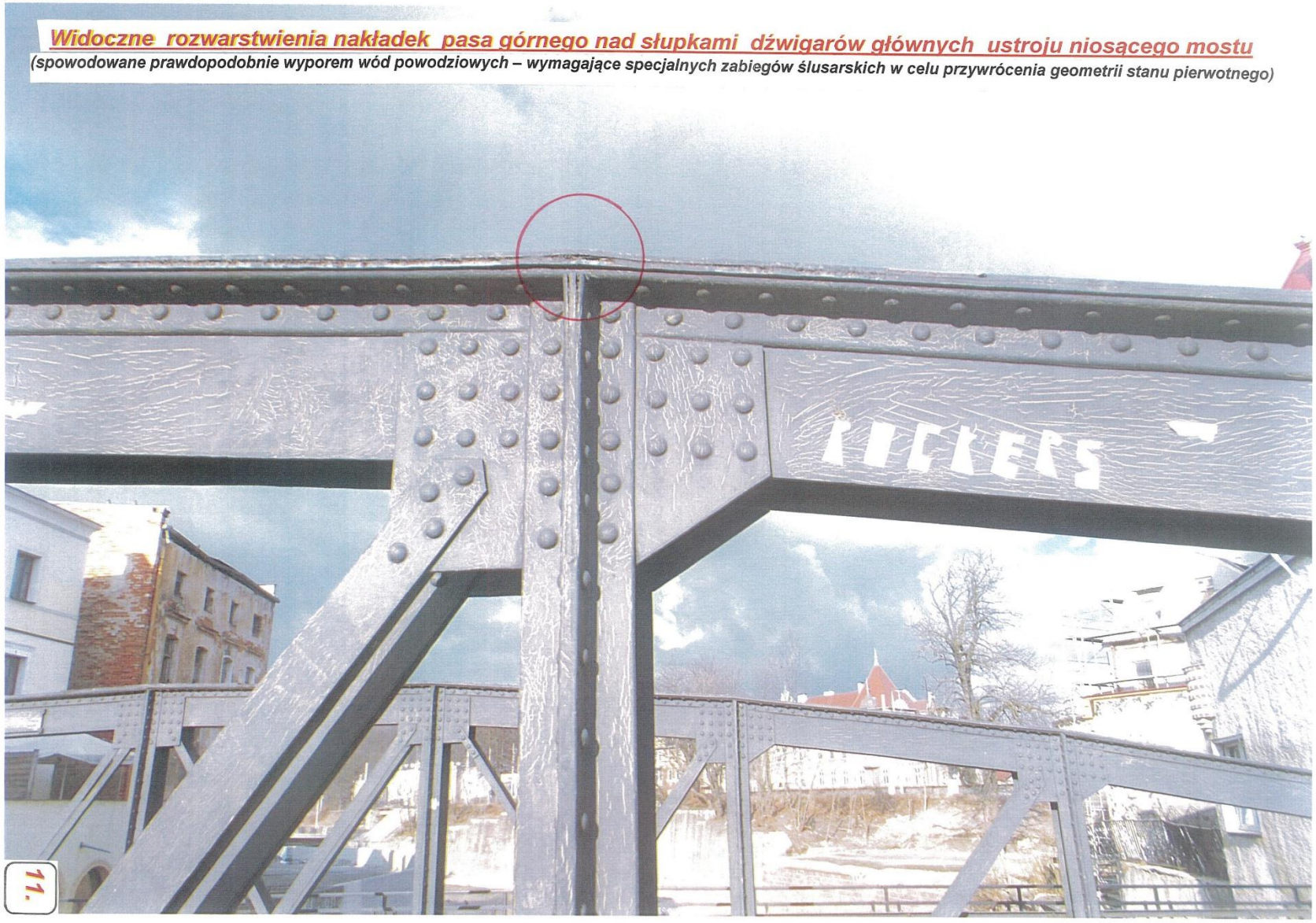

11.



12.

Widok na pas dolny do wnętrza węzła pośredniego łączącego wspornik chodnikowy oraz poprzecznicę

Widok z góry odsłoniętego (usunięciem w trakcie powódzi elementów kamiennego wypełnienia) węzła pasa dolnego dźwigara kratowego

(widoczne dolne zakończenie środnika słupka dźwigara głównego oraz widok z góry na kątownik 50 x 60 x 4 mm podpierający przykrycie kamienne węzła)

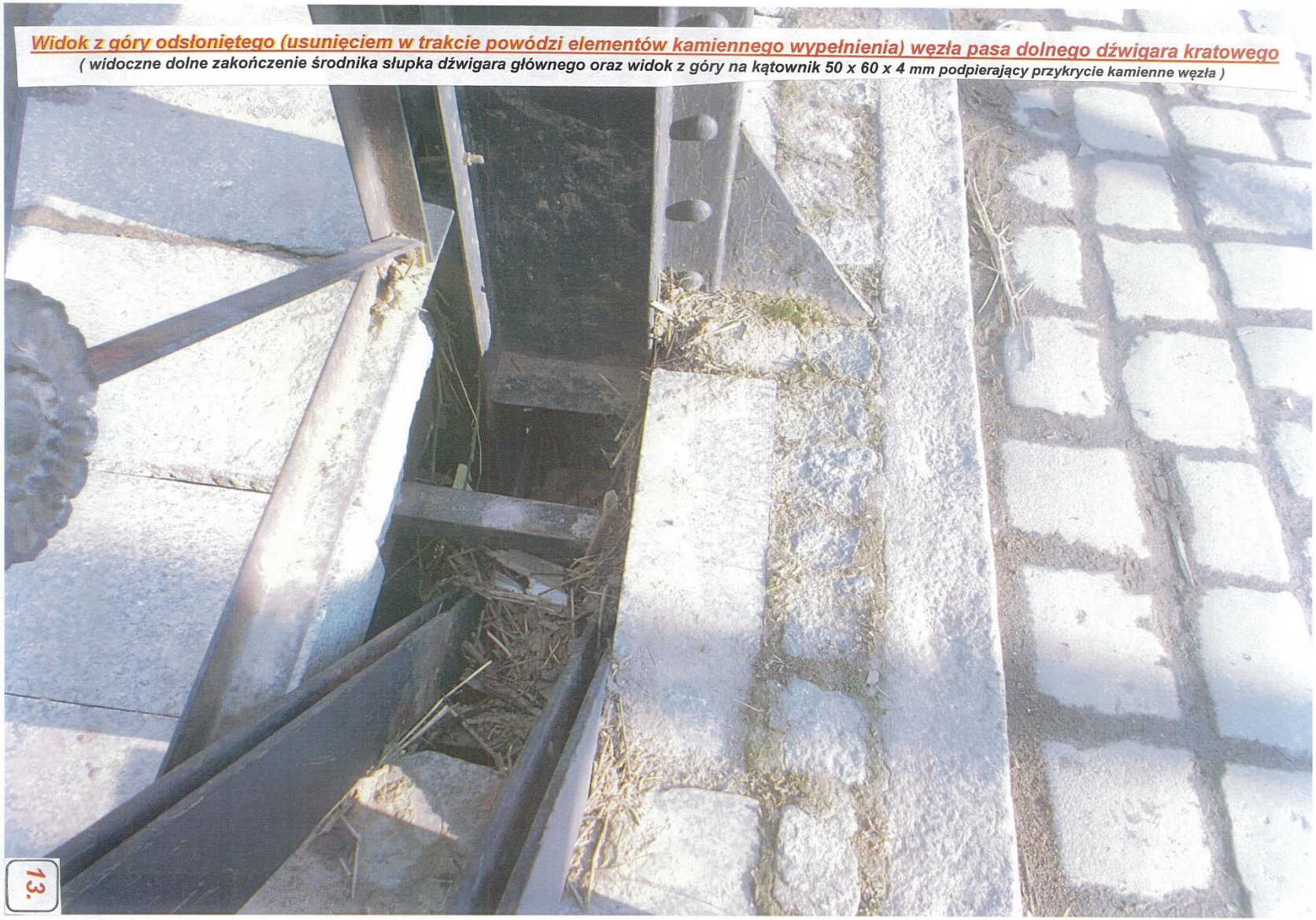

13.



Widok na pas dolny ustroju nośnego z poziomu granitowych płyt chodnikowych, widoczna przestrzeń pomiędzy chodnikiem a jezdnią mostu

(przestrzeń wypełniana kamiennymi elementami granitowych płyt chodnikowych wraz z drobniejszymi – opartymi na widocznych kątownikach 50 x 60 x 4 mm)



15.

Widok na pas dolny ustroju nośnego z poziomu granitowych płyt chodnikowych – widoczna przestrzeń pomiędzy chodnikiem a jezdnią most

(po prawej stronie widocznej przestrzeni – zakończenie środnika słupka pośredniego kratownicy na poziomie 50 cm powyżej górnego poziomu pasa dolnego dźwigara



Widok na pas dolny ustroju nośnego z poziomu granitowych płyt chodnikowych – widoczna przestrzeń pomiędzy chodnikiem a jezdnią most

(przestrzeń wypełniana kamiennymi elementami granitowych płyt chodnikowych wraz z drobniejszymi – opartymi na widocznych kątownikach 50 x 60 x 4 mm)

Połączenie poprzecznicy z pasem dolnym ustroju nośnego

(widoczny od spodu stalowy pomost płyty ortotropowej jezdni – z boku dźwigara głównego ceownik wysokości 300 mm)

17.

Połączenie poprzecznicy z pasem dolnym ustroju nośnego

(widoczny od spodu stalowy pomost płyty ortotropowej jezdni – z boku dźwigara głównego ceownik wysokości 300 mm)



19.



Widoczny szczegół wyboczenia krzyżulców kratownicy nad dolnym pasem ustroju nośnego i zniszczenia ich połaczenia w węźle korozją

Szczegół połączenia w dolnym węźle słupków dźwigara kratowego z poprzecznicą, wspornikiem chodnikowym oraz ceownikiem C-300 mm

(widoczny fragment dolnego zakończenia środnika słupka dźwigara głównego – 50 cm nad górnym poziomem pasa dolnego ustroju nośnego mostu)



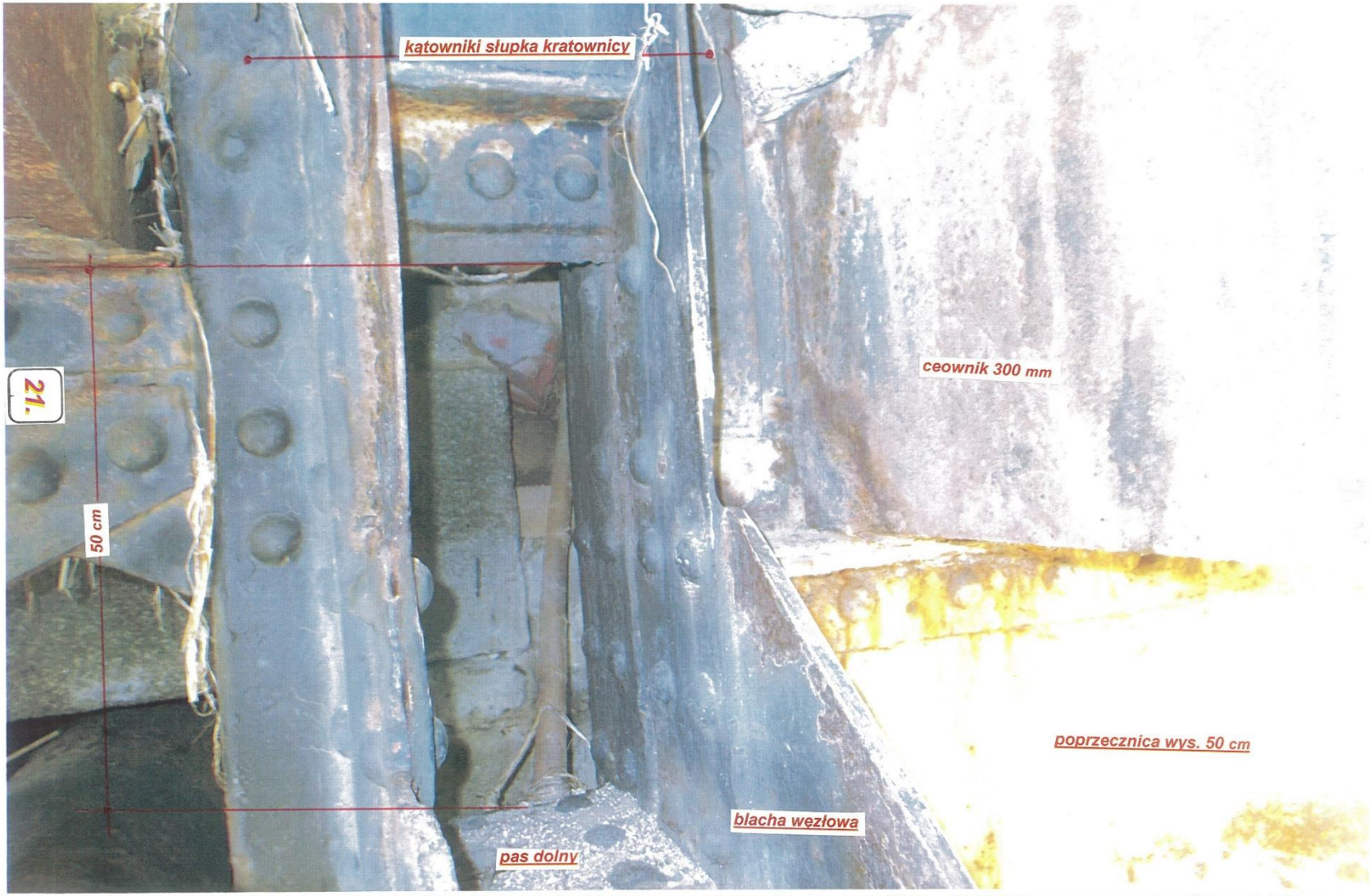

Szczegół połączenia w dolnym węźle słupków dźwigara kratowego z poprzecznicą, wspornikiem chodnikowym oraz ceownikiem C-300 mm

(widoczny fragment dolnego zakończenia środnika słupka dźwigara głównego – 50 cm nad górnym poziomem pasa dolnego ustroju nośnego mostu)

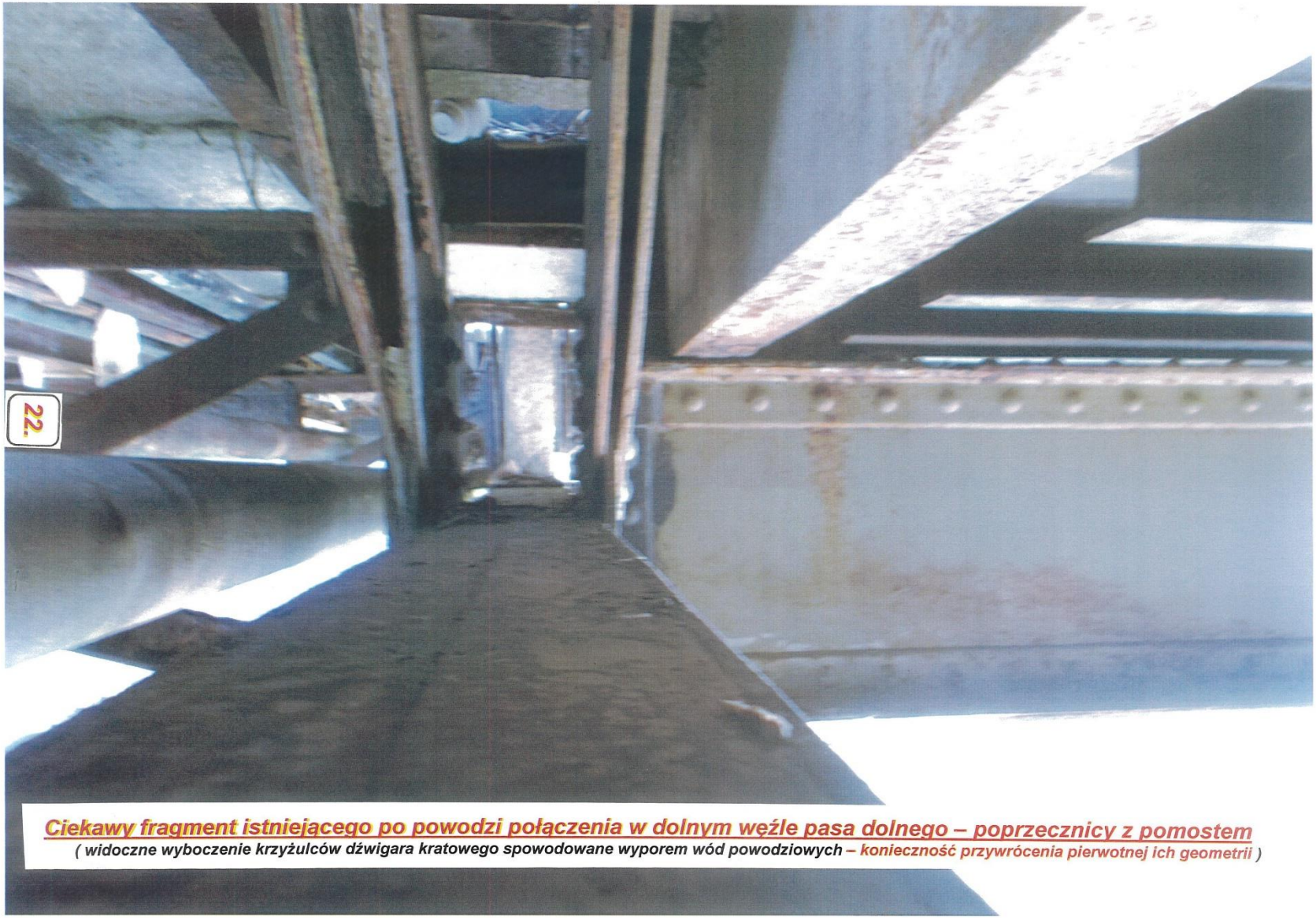

22.

Ciekawy fragment istniejącego po powodzi połączenia w dolnym węźle pasa dolnego – poprzecznicy z pomostem

(widoczne wyboczenie krzyżulców dźwigara kratowego spowodowane wyporem wód powodziowych – konieczność przywrócenia pierwotnej ich geometrii)

Widok od spodu zniszczonego zamocowania wspornika chodnikowego z pasem dolnym dźwigara głównego

(widoczny fragment stężenia poziomego w płaszczyźnie dolnej pasa dolnego dźwigara kratowego i poprzecznic)





24.

Widok pomostu w stronę centrum Starego Miasta

(na pierwszym planie – budowa pasa górnego ustroju nośnego mostu)



Widok chodnika pomostu

(płyty granitowe grubości 15 cm)

25.



26.

Charakterystyczne kształty nawierzchni chodnika z granitowych płyt chodnikowych w obrębie słupków dźwigarów głównych

(stosowne geometryczne wycięcia w płytach kamiennych grubości 15 cm)



Widok powodziowych zniszczeń chodnikowych mostu od strony górnej wody

27.



28.

Zanieczyszczenia powodziowe spodniej konstrukcji mostu (zwłaszcza po stronie prawobrzeżnej oraz dolnej wody)



29.

Widok od spodu ustroju nośnego mostu zanieczyszczeń powodziowych (w stronę podpory prawobrzeżnej)

(widoczna szerokość wnęki podporowej B = 11,00 m oraz D = 9,50 m)

Widok od spodu zniszczeń w strefie podchodnikowej mostu oraz zanieczyszczeń powodziowych

(rozstaw ażurowych (skratowanych) wsporników podchodnikowych – 2,40 m ; widoczna duża liczba urządzeń obcych)





Widok spodniej części mostu wraz z konstrukcją wspornikową chodników oraz jezdni – widok w stronę centrum od „górnej wody”

31.

Widok spodniej części mostu wraz z konstrukcją wspornikową chodników oraz jezdni – widok w stronę centrum od „dolnej wody”



33.

Widok zniszczeń w strefie połączenia wsporników podchodnikowych z dźwigarem kratownicowym



34.

Interesujący fragment połączenia w dolnym węźle pasa dolnego ustroju nośnego pomostu jezdni z chodnikiem



35.

Widok uszkodzeń korozyjnych w strefie połączenia poprzecznicy z pasem dolnym kratowego dźwigara głównego



36.

Widok od spodu stalowego pomostu jezdni oraz wspornikowej części chodnikowej

(szczególne zniszczenia korozją elementów stalowych części pochodnikowej oraz dolnych fragmentów wpustów odwadniających jezdni)



37.

Szczegół połączenia poprzecznic oraz wsporników chodnikowych z pasem dolnym ustroju nośnego mostu

Widoczne zniszczenia w elementach konstrukcji wspornikowych chodników ich połączeń w węzłach z dźwigarami ustroku nośnego

(widoczne także zniszczenia korozyjne podparć granitowych płyt chodnikowych w postaci 6-ciu sztuk ceowników 140 mm)



38.

Widok częściowy konstrukcji istniejącego wspornika chodnikowego – zamocowanego w węźle dźwigara kratownicowego do poprzecznicy

(zarówno na wsporniku, jak i w jego płaszczyźnie przebiegają istniejące urządzenia obce infrastruktury technicznej ulicy Grottgera)



39.

Widok w kierunku podłużnym konstrukcji istniejących obustronnych wsporników chodnikowych

(widoczne podparcie na ceownikach wys.140 mm – kamiennej nawierzchni chodników z płyt granitowych grubości 15 cm)

Zamocowanie wsporników do dźwigarów ustroju nośnego za pomocą połączenia kątowników 75 x75 x 7(8) mm (przęsłowych słupków dźwigara kratowego) z pasem dolnym

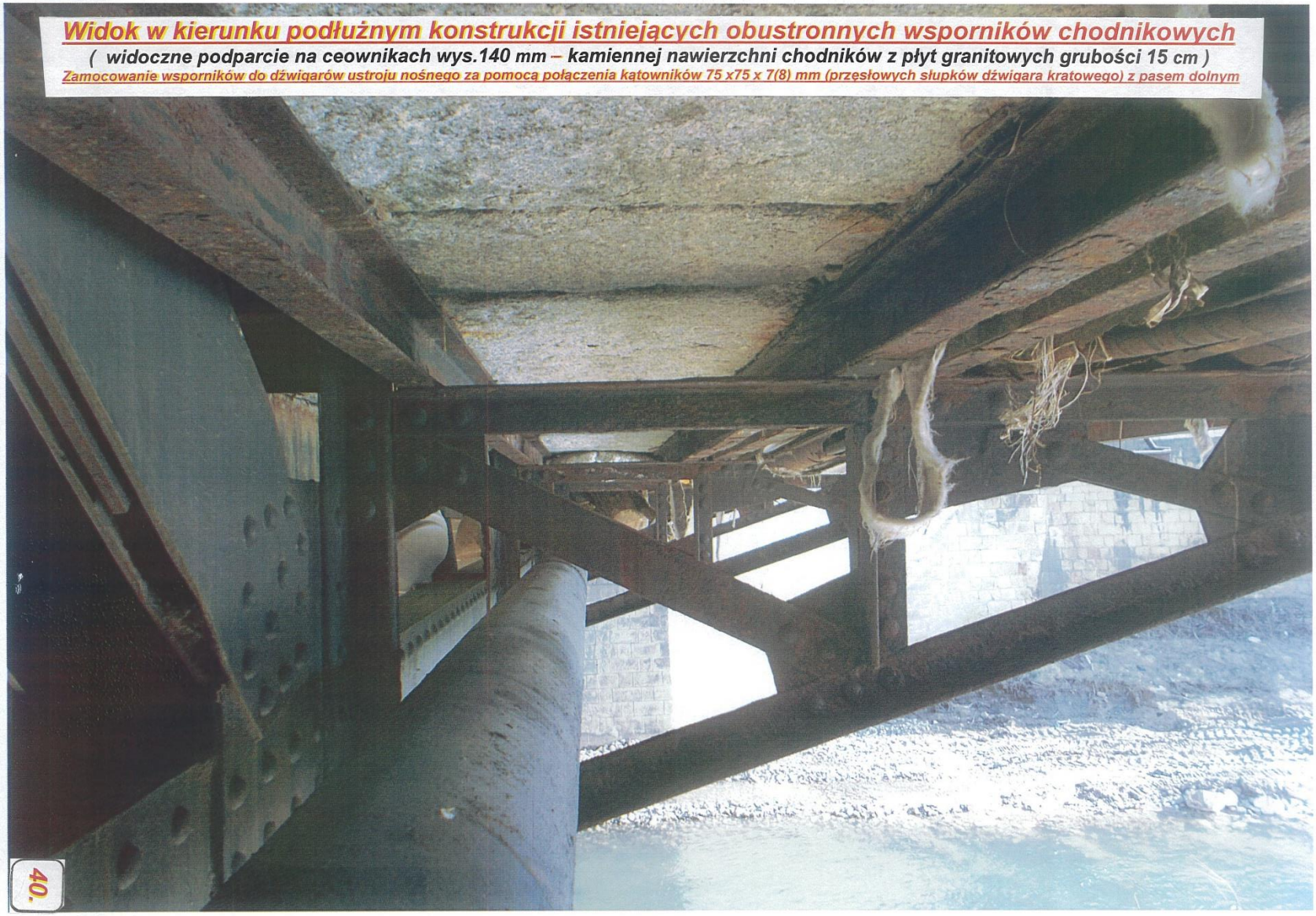

40.



Widok połączenia podłużnic z poprzecznicą oraz oparcia stalowej płyty ortotropowej jezdni

(wyraźne ślady zaawansowanej korozji wymagające właściwego zabezpieczenia antykorozyjnego z użyciem czyszczenia strumieniowo-ściernego)



42.

Widok połączenia podłużnic z poprzecznicą oraz oparcia stalowej płyty ortotropowej jezdni

(wyraźne ślady zaawansowanej korozji wymagające właściwego zabezpieczenia antykorozyjnego z użyciem czyszczenia strumieniowo-ściernego)



43.

Widok od spodu stalowej ortotropowej płyty pomostowej jezdni

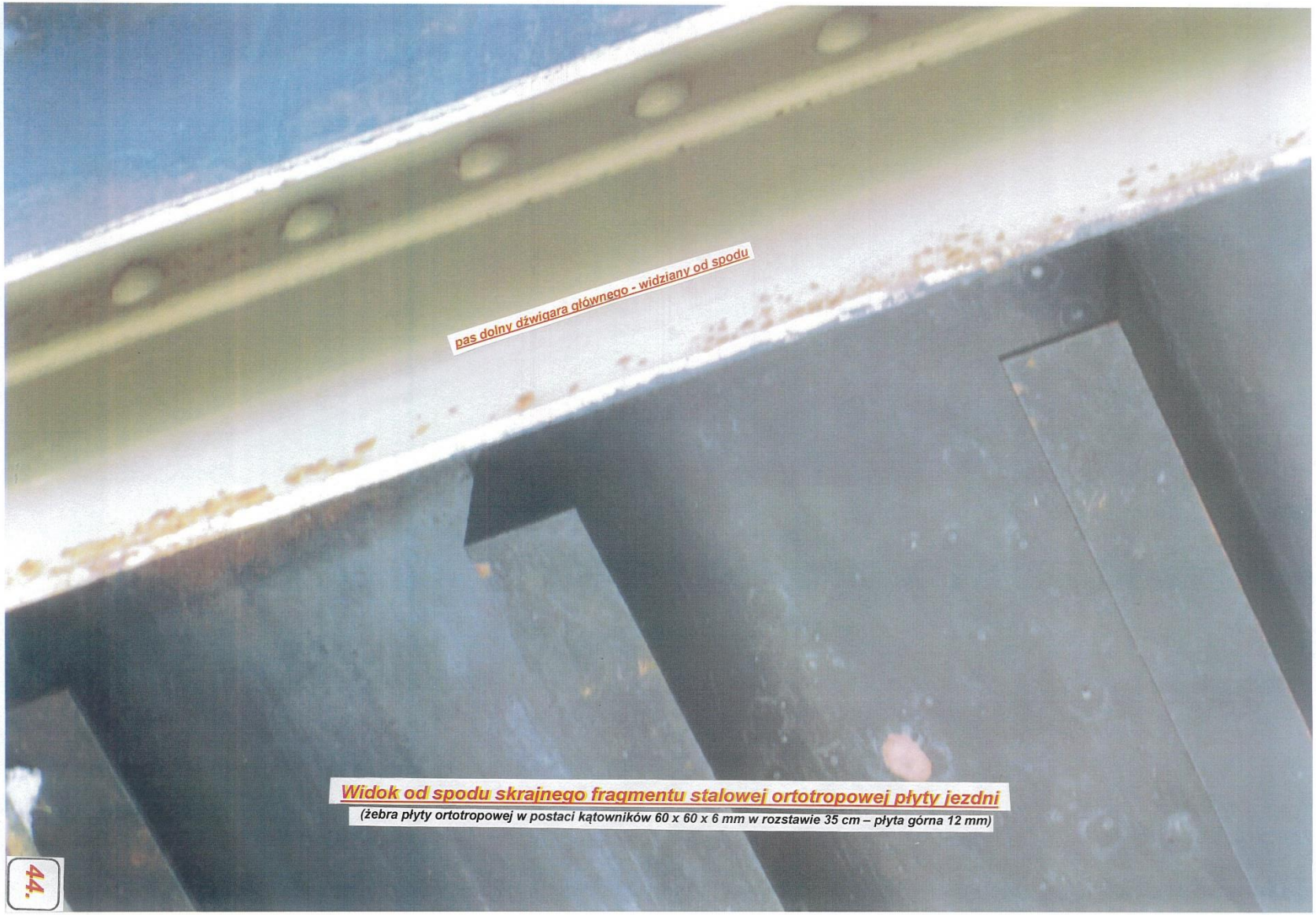

Widok od spodu skrajnego fragmentu stalowej ortotropowej płyty jezdni

(żebra płyty ortotropowej w postaci kątowników 60 x 60 x 6 mm w rozstawie 35 cm – płyta górna 12 mm)

44.



45.

Szczegół połączenia poprzecznic oraz wsporników chodnikowych z pasem dolnym ustroju nośnego mostu



Widok podpory lewobrzeżnej mostu z wnęką łożyskową

(potrzeba uszczelnienia widocznej szczeliny pionowej w ścianie podpory oraz konieczność poszerzenia wnęki)



47.

Widok wnęki podporowej od strony centrum z łożyskiem (wahaczem) nieprzesuwnym



Widok lewobrzeżnej wnęki podporowej od strony centrum wraz z łożyskiem nieprzesuwnym

(projektowane poszerzenie wnęki pod wykonanie ławy podłożyskowej nowej konstrukcji podchodnikowej mostu)

Widok łożyska (wahacza) nieprzesuwnego na podporze lewobrzeżnej

(wysokość łożyska 50 cm ; szerokość płyty dolnej grub. 50 mm – 55 cm ; jej długość 75 cm ; ϕ wałka 100 mm, długość 350 cm)





50.

Widok lewobrzeżnej wnęki podporowej od strony centrum wraz z łożyskiem nieprzesuwnym

(projektowane poszerzenie wnęki pod wykonanie ławy podłożyskowej nowej konstrukcji podchodnikowej mostu)

Widok od spodu kamiennego ciosu podłożyskowego na podparciu od strony centrum – widoczne pęknięcie pionowe podpory kamiennej

(miejsce to będzie stanowiło wykonanie żelbetowej ławy podłożyskowej projektowanej konstrukcji zamiennej chodnika – szczelinę należy uszczelnić insektem cem.)



51.

Widok oparcia dolnego pasa dźwigara głównego ustroju nośnego na lewobrzeżnym łożysku nieprzesuwnym

(wyraźne ślady zaawansowanej korozji wymagające dokładnego oczyszczenia strumieniowo-ściernego po uprzednim odcięciu wspornika chodnikowego)



52.



53.

Widok od czoła (cieku) łożyska (wahacza) przesuwnego na podporze prawobrzeżnej

(wysokość łożyska 50 cm ; szerokość płyty dolnej grub. 50 mm – 55 cm ; jej długość 75 cm ; ϕ górnego wałka 120 mm, dolnych 100 mm)



54.

Widok z boku łożyska (wahacza) przesuwnego na podporze prawobrzeżnej

(wysokość łożyska 50 cm ; ϕ wałka górnego 120 mm ; długość 375 mm ; ϕ dolnych 100 mm (5 szt. o l_1 = 50 cm)



55.

Widok od czoła wałka dolnego wahacza przesuwnego na podporze prawobrzeżnej

(średnica wałka 100 mm ; długość 375 mm – konieczność demontażu, oczyszczenia strumieniowo-ściernego oraz przesmarowania łożysk)